

高等学校教学用书

材料力学补充部分

CAILIAO LIXUE BUCHONG BUFEN

杜庆华等編著

人民教育出版社

高等学校教学用书



材料力学补充部分

CAILIAO LIXUE BUCHONG BUFEN

杜庆华等編著

人民教育出版社

本书系由唐山铁道学院孙训方编写，经教育部同意作为杜庆华等编著“材料力学”的补充部分，可供高等工业学校土建、机械类专业使用。

补充部分包括两章：实验应力分析和接触应力计算。在实验应力分析一章中，介绍了实验应力分析的几个主要方法：变形仪法、脆性漆层法和光弹性方法。在接触应力计算中阐述了接触表面最大压应力计算的基本原理、公式和强度校核，并附有例题和表格，可供参考。

材料力学补充部分

杜庆华等 编著

北京市书刊出版业营业登记证字第2号

人民教育出版社出版（北京景山东街）

人民教育印刷厂印装

新华书店北京发行所发行

各地新华书店经售

统一书号K15010·1105 开本 850×1168^{1/16} 印张 1^{1/16}

字数 29,000 印数 0·001—1·000 定价(6)元 0.17

1962年12月第1版 1962年12月北京第1次印刷

目 录

第二十五章	实验应力分析	1
§ 25.1	概述	1
§ 25.2	变形仪法	2
§ 25.3	脆性漆层法	8
§ 25.4	光弹性方法	12
第二十六章	接触应力计算	27
§ 26.1	接触表面最大压应力的计算	27
§ 26.2	接触体的强度校核	35

第二十五章 實驗应力分析

§ 25.1. 概述

在工程实践中对結構物及其构件作强度計算时通常均需进行實驗。这是因为一方面，材料和构件的彈性常数、塑性性质以及强度性质需要通过實驗加以測定（这在以前的有关章节中已經介紹过）；另一方面，由于理論分析和計算公式往往是根据一些假設和簡化得到的，当用以求具体构件在工作条件下的最大应力等时是否精确就得依靠實驗加以檢驗。此外，有些构件，外形比較复杂，要利用理論方法計算其最大应力等，往往受到数学工具的限制，或者是因計算异常复杂，无法在工程計算中应用，或者是目前还没有理論方法求解，在这种情况下，就必須用實驗方法加以解决。

本章主要是介紹用實驗測定理想的彈性构件在靜載荷作用下最大应力等的方法。由此所得的資料仅适用于按許用应力法对构件所作的强度計算。这些方法的局限性，讀者应予注意。

最常用的實驗应力分析方法有两大类。一类是测定实际构件及結構物或其模型在表面上的应变，然后利用虎克定律推算出測点处的应力；这样虽然只能求得表面上的最大应力，但在絕大多数情况下，这也就是整个构件内的最大应力。后面将介紹的变形仪法和脆性漆层法均属于这一类。另一类是根据某些透明材料受力后在光学上成为各向异性的特征，用它們做成模型，利用偏振光来研究其内部的应力情况。这种方法通常称为光彈性方法（或简称光測法）。

§ 25.2. 變形儀法

1. 基本原理

在構件表面上沒有外力作用處，就沒有作用在表面上的正應力和剪應力，也就是材料系處於平面（或單向）應力狀態，所以可利用變形儀測出構件表面上的線應變，再通過虎克定律推算主應力。下面將分別就實測中所遇到的三種情況加以討論。

（1）測點處於單向應力狀態且主應力方向已知

彎曲構件橫截面最外邊緣處和平面構件周邊上的各點就屬於這種最簡單的情況。此時只需在已知的主應力方向安置一個變形儀，量測這個方向的主應變 ε_1 ，然後，利用單向應力狀態下的虎克定律

$$\sigma_1 = E\varepsilon_1, \quad (25.1)$$

即可算出主應力 σ_1 ^①。

（2）測點處於平面應力狀態且兩個主應力方向已知

受均布內壓力作用或在兩端受扭矩作用的薄壁圓筒是這種情況的典型例子。既知兩個主應力方向，則在同一點處沿兩主應力方向各安置一變形儀即可測出主應變 ε_1 和 ε_2 ，從而利用平面應力狀態的虎克定律

$$\left. \begin{aligned} \sigma_1 &= \frac{E}{1-\mu^2} (\varepsilon_1 + \mu \varepsilon_2), \\ \sigma_2 &= \frac{E}{1-\mu^2} (\varepsilon_2 + \mu \varepsilon_1), \end{aligned} \right\} \quad (25.2)$$

確定主應力 σ_1 和 σ_2 ^②。

① 這裡的 ε_1 和 σ_1 系單向應力狀態下的主應變和主應力，不論是拉伸或壓縮均用此符號。

② 這裡的 ε_1 、 ε_2 和 σ_1 、 σ_2 系平面應力狀態下的主應變和主應力，不論是拉伸或壓縮均用此符號。

(3) 测点处于平面应力状态(包括单向应力状态), 主应力方向未知

典型例子是受横向弯曲的梁内任一点处的应力状态。由于不知道主应力方向, 所以必须测定同一点处沿三个任意方向的应变 ϵ_I 、 ϵ_{II} 和 ϵ_{III} , 才能确定该点处的主应变 ϵ_1 和 ϵ_2 及其方向。最简单的方法之一是量测如图 25.1 所示夹角为 45° 的 I、II、III 三个方向的应变 ϵ_I 、 ϵ_{II} 和 ϵ_{III} , 然后, 利用以下公式计算主应变方向(亦即主应力方向)和主应变 ϵ_1 、 ϵ_2 的数值:

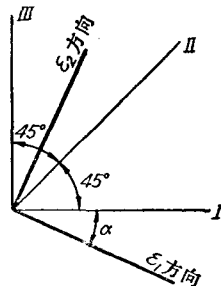


图 25.1

$$\left. \begin{aligned} \operatorname{tg} 2\alpha &= -\frac{2\epsilon_{II} - \epsilon_I - \epsilon_{III}}{\epsilon_I - \epsilon_{III}}, \\ \epsilon_1 &= \frac{1}{2}(\epsilon_I + \epsilon_{III}) + \frac{1}{\sqrt{2}}\sqrt{(\epsilon_I - \epsilon_{II})^2 + (\epsilon_{III} - \epsilon_{II})^2}, \\ \epsilon_2 &= \frac{1}{2}(\epsilon_I + \epsilon_{III}) - \frac{1}{\sqrt{2}}\sqrt{(\epsilon_I - \epsilon_{II})^2 + (\epsilon_{III} - \epsilon_{II})^2}. \end{aligned} \right\} \quad (25.3)$$

上式中: α — ϵ_1 和方向 I 间的夹角, 设其值在 $\pm 45^\circ$ 之间(参看图 25.1)。

既知两主应变 ϵ_1 、 ϵ_2 , 即可代入公式 (25.2) 计算两主应力 σ_1 、 σ_2 。

现在推导公式(25.3)。为此, 首先研究在已知两主应变 ϵ_1 、 ϵ_2 时, 与主应变 ϵ_1 的方向成 θ 角的方向(由 ϵ_1 方向沿逆时针方向量的 θ 角为正)上应变 ϵ_θ 的表达式(参看图 25.2):

$$\begin{aligned} \epsilon_\theta &= \frac{\Delta ds}{ds} = \frac{\Delta ds_1 \cos \theta + \Delta ds_2 \sin \theta}{ds} = \\ &= \frac{\Delta ds_1 \cos \theta}{ds_1 / \cos \theta} + \frac{\Delta ds_2 \sin \theta}{ds_2 / \sin \theta} = \end{aligned}$$

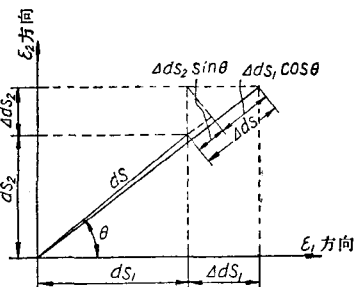


图 25.2

$$= \varepsilon_1 \cos^2 \theta + \varepsilon_2 \sin^2 \theta = \\ = \frac{1}{2}(\varepsilon_1 + \varepsilon_2) + \frac{1}{2}(\varepsilon_1 - \varepsilon_2) \cos 2\theta. \quad (a)$$

既知 ε_θ 的表达式，設 I、II、III 三方向與 ε_1 方向間的夾角分別為 α 、 $45^\circ + \alpha$ 及 $90^\circ + \alpha$ （均以自 ε_1 方向沿逆時針量的角度為正值參看圖 25.1），則 ε_I 、 ε_{II} 和 ε_{III} 可按 (a) 式將 θ 角分別以 α 、 $45^\circ + \alpha$ 和 $90^\circ + \alpha$ 代入而求得。

$$\varepsilon_I = \frac{1}{2}(\varepsilon_1 + \varepsilon_2) + \frac{1}{2}(\varepsilon_1 - \varepsilon_2) \cos 2\alpha, \quad (b)$$

$$\begin{aligned} \varepsilon_{II} &= \frac{1}{2}(\varepsilon_1 + \varepsilon_2) + \frac{1}{2}(\varepsilon_1 - \varepsilon_2) \cos 2(45^\circ + \alpha) = \\ &= \frac{1}{2}(\varepsilon_1 + \varepsilon_2) - \frac{1}{2}(\varepsilon_1 - \varepsilon_2) \sin 2\alpha, \end{aligned} \quad (c)$$

$$\begin{aligned} \varepsilon_{III} &= \frac{1}{2}(\varepsilon_1 + \varepsilon_2) + \frac{1}{2}(\varepsilon_1 - \varepsilon_2) \cos 2(90^\circ + \alpha) = \\ &= \frac{1}{2}(\varepsilon_1 + \varepsilon_2) - \frac{1}{2}(\varepsilon_1 - \varepsilon_2) \cos 2\alpha. \end{aligned} \quad (d)$$

聯解 (b)、(d) 兩式可得：

$$\varepsilon_1 = \frac{1}{2}(\varepsilon_I + \varepsilon_{III}) + \frac{1}{2}(\varepsilon_I - \varepsilon_{III}) \frac{1}{\cos 2\alpha}, \quad (e)$$

$$\varepsilon_2 = \frac{1}{2}(\varepsilon_I + \varepsilon_{III}) - \frac{1}{2}(\varepsilon_I - \varepsilon_{III}) \frac{1}{\cos 2\alpha}. \quad (f)$$

因為由 (e)、(f) 兩式相加可知：

$$(\varepsilon_1 + \varepsilon_2) = (\varepsilon_I + \varepsilon_{III}), \quad (g)$$

將 (g) 式代入 (b)、(c) 兩式並移項後可得：

$$\frac{1}{2}(\varepsilon_1 - \varepsilon_2) \cos 2\alpha = \varepsilon_I - \frac{1}{2}(\varepsilon_I + \varepsilon_{III}), \quad (h)$$

$$\frac{1}{2}(\varepsilon_1 - \varepsilon_2) \sin 2\alpha = -\varepsilon_{II} + \frac{1}{2}(\varepsilon_I + \varepsilon_{III}). \quad (i)$$

將 (i) 式除以 (h) 式即得主應變方向角的計算公式：

$$\tan 2\alpha = -\frac{2\varepsilon_{II} - (\varepsilon_I + \varepsilon_{III})}{2\varepsilon_I - (\varepsilon_I + \varepsilon_{III})} = -\frac{2\varepsilon_{II} - \varepsilon_I - \varepsilon_{III}}{\varepsilon_I - \varepsilon_{III}}. \quad (j)$$

若 2α 值取在 $\pm 90^\circ$ 范圍以內，則

$$\cos 2\alpha = \pm \frac{1}{\sqrt{1 + \tan^2 2\alpha}},$$

將 (j) 式中的 $\tan 2\alpha$ 值代入上式並經過簡化可得：

$$\cos 2\alpha = \frac{(\varepsilon_I - \varepsilon_{III})}{\sqrt{2[(\varepsilon_I - \varepsilon_{II})^2 + (\varepsilon_{III} - \varepsilon_{II})^2]}}. \quad (k)$$

将(k)式中的 $\cos 2\alpha$ 表达式代回(e)、(f)两式即得主应变计算公式：

$$\varepsilon_1 = \frac{1}{2}(\varepsilon_I + \varepsilon_{III}) + \frac{1}{\sqrt{2}}\sqrt{(\varepsilon_I - \varepsilon_{II})^2 + (\varepsilon_{III} - \varepsilon_{II})^2}, \quad (l)$$

$$\varepsilon_2 = \frac{1}{2}(\varepsilon_I + \varepsilon_{III}) - \frac{1}{\sqrt{2}}\sqrt{(\varepsilon_I - \varepsilon_{II})^2 + (\varepsilon_{III} - \varepsilon_{II})^2}. \quad (m)$$

以上的(j)、(l)、(m)三式即所要证明的(25.3)式。显然，若 2α 值取在 $+90^\circ$ 到 $+270^\circ$ 的范围内，则 $\cos 2\alpha$ 应取负值，这样，(l)、(m)两式右端根号前的符号就应该变号。

明确了变形仪法的基本原理后，剩下的就是如何利用变形仪确定应变的问题了。确定构件表面的应变可以用机械式变形仪（例如双杠杆式变形仪），也可以用其他形式的变形仪。在近代确定应变的技术中广泛采用电阻应变仪，下面就着重介绍这种应变仪。

2. 电阻应变仪的原理

电阻应变仪系由电阻式转换器（通常称为电阻丝片）和量测电阻变化用的电桥（通常称为电阻应变仪）两部分组成。因为电阻丝片的相对长度变化在一定范围内与其相对电阻变化成线性关系，即

$$\frac{\Delta R}{R} = K \frac{\Delta l}{l} = K \varepsilon, \quad (25.4)$$

其中： K 为电阻丝片的灵敏系数。

因此，测出电阻丝片的相对电阻变化即可确定电阻丝片的线应变。若将电阻丝片牢固地粘着在测定对象表面上某一测点处，则此线应变也就是该点处沿电阻丝片纵向的线应变。这样，就可以量测贴在测定对象表面上的电阻丝片的相对电阻变化，以测定其上任一点沿任一方向的线应变。

电阻丝片系将直径为 $0.025\sim0.030$ 毫米的合金电阻丝（例如

康铜丝——40% 镍和 60% 铜的合金) 牢固地粘贴在绝缘性能良好的薄纸片或塑料片上制成(参看图 25.3a)。常用的电阻丝片其标准电阻为 120 欧姆, 基线长 l 为 20 或 10 毫米, 灵敏系数 $K = 2.1 \sim 2.4$ 。

为了量测三个方向的线应变, 可以在测点处粘贴三个如图 25.3a 所示的电阻丝片, 也可以粘贴一个事先做好的“电阻丝片丛”(例如图 25.3b 所示的一种)。

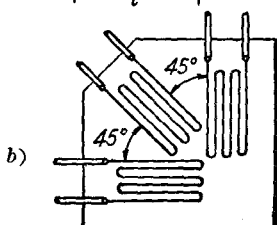
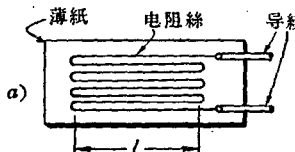


图 25.3

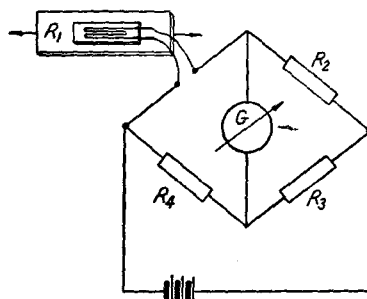


图 25.4

电阻丝片系用粘结力强的特种胶水贴在测定对象的表面上, 以使电阻丝片产生与其表面上测点处完全相同的线应变。由此可见, 将电阻丝粘贴在纸片上和将电阻丝片粘贴在测定对象上所用胶水的粘结力和粘贴的质量是影响量测结果之精确度的重要因素之一。

电阻丝片的电阻变化可以根据惠斯登电桥的原理(参看图 25.4) 测定。当四个电桥臂的电阻值满足以下关系时

$$\frac{R_1}{R_2} = \frac{R_4}{R_3}, \quad (25.5)$$

电桥平衡, 即电流计(或电位计) G 中没有电流通过, 其指针位于零点。当电阻丝片的电阻 R_1 发生变化时, 电桥失去平衡, 电流计

G 中因有电流通过而使指針偏斜。可以根据电流計指針偏斜时所示电流推算出电阻絲片相应的电阻变化和相应的綫应变，而在电流計刻度盤上直接讀出电阻絲片的綫应变（这种方法称为直接讀數法，在動荷應變測量中常采用），也可以調整可變電阻 R_3 或 R_4 ，使电流計指針在电阻絲片的电阻 R_1 发生变化时恒保持零点位置，根据可變電阻調整的数量，按(25.5)式所示关系算出电阻絲片的电阻变化，从而利用換算关系，在可變電阻調節器上讀出电阻絲片的綫应变（这种方法称为零讀數法，在靜荷應變測量中常采用）。

實驗室內所用的电阻應变仪就是根据这种原理制成的，但为了提高仪器的灵敏性，其电桥線路則較图 25.4 所示的惠斯登电桥复杂。电阻應变仪中最重要な部分就是使通过电流計中的电流增大的放大设备，因为原来这种电流是极其微弱的，只有加以放大才能精确地測出电阻絲片的电阻变化。

电阻應变仪法如上所述，是利用电阻絲片电阻的相对变化确定构件(或其模型)綫应变的。但是量測过程中溫度的改变也会引起电阻絲片內电阻的变化。为了消除溫度改变的影响，應該把与构件上所貼电阻絲片 R_1 所在电桥臂不平行的另一个电桥臂作为溫度补偿电阻 R_2 (参看图 25.4)。这是一个貼在和构件材料相同但不受力的試件上的电阻絲片，这种溫度补偿电阻絲片是与构件上的电阻絲片完全相同的。在實驗过程中，溫度补偿电阻絲片應該放在构件附近。这样，由于溫度改变时 R_1 和 R_2 发生相同的变化而不影响电桥的平衡。

3. 电阻應变仪法的优缺点

利用电阻應变仪量測試件的表面應变比用一般机械式变形仪具有以下一些优点：电阻絲片构造简单，体积很小，可以貼在空隙不大的地方；采取适当的防潮措施后可以用于水下結構物的應变测量；用来量測載荷变化速度很高的构件的應变，不会因仪器的慣

性而影响讀数的精确性。上述这些方面均非机械式变形仪所能做到的。

变形仪法的主要缺点在于：要确定构件表面上哪一点处的应力最大，必須量測很多点的应变，而这在实际应用上往往是不現實的。为了解决这个問題，必須設法全面了解构件表面上应变的变化情况，此时就須利用下面介紹的脆性漆层法。

§ 25.3. 脆性漆层法

1. 基本原理

脆性材料在一定的伸长变形下就会沿着与变形垂直的方向开裂，脆性漆层法就利用了这一特性来确定构件表面上最大拉伸主应变的位置及方向等等。事先在构件（或其模型）表面上噴塗一

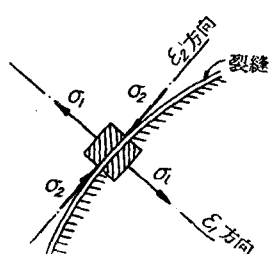


图 25.5

薄层（厚度在 0.07~0.15 毫米之間）的脆性漆层，使其密切地粘着于构件表面，当构件在載荷作用下其表面上某一点处的最大拉伸主应变 ϵ_1 达到脆性漆层的极限应变值时（即开始出現裂縫的应变 ϵ_0 ，一般約在 0.03~0.10%），脆性漆层即开裂。因此在构

件加载过程中构件表面上脆性漆层最先开裂处及其裂縫的方向，显然就是构件表面上拉伸主应变最大处以及与拉伸主应变 ϵ_1 垂直的方向（参看图 25.5）。

2. 脆性漆的制造

通常所用的脆性漆是一种銀松脂酸盐。制造时将純淨的松香（其軟化点不低于68°C）加热到220°~230°C，然后緩緩加入化学純的氢氧化銀[Ba(OH)₂]細末，再将温度增高至 270°C，俟液体中的气泡完全消散而成为純淨的半透明溶液时（此时全部化学反应即告完成）停止加热，使其逐渐冷却。俟其冷却到200°C左右即可倒在薄金属板上使其凝固成薄片状，这样就制成了銀松脂

酸盐的脆性漆。这种脆性漆根据实验时对于其脆性之要求的不同而通常配成6种标号，即1B、3B、6B、8B、10B和12B，它们分别代表在每百克松香中加入1、3、6、8、10和12克的氢氧化鋇，标号愈高的，其性质愈脆。温度和湿度愈高时应该采用标号愈高的脆性漆以使其在一定的拉伸应变下就能开裂，亦即具有足够的灵敏度。在各种温度和湿度下应该采用什么标号的脆性漆可以参照图25.6中的标号线图根据干湿球湿度计所示的干球和湿球的温度确定。例如，按干湿球的

温度在标号线图中确定之点位于6B的范围内，就应该采用标号为6B的脆性漆。^①

上面所介绍的脆性漆仅适用于温度范围在+8°~+30°C之间，而且干燥过程中温度差不能超过±5°C，湿度差不能超过±5%，否则会发生龟裂。

3. 脆性漆的使用

将薄片状的鋇松脂酸盐脆性漆溶解在二硫化碳液体中（其配合按重量比为2:3）制成纯净透明没有渣滓的溶液。然后将溶液喷塗在构件表面上，此时最好使用喷枪，以保证漆层厚度均匀、表面光滑。如果构件不大，也可以用排笔涂刷。为了使二硫化碳便于挥发，应该分8到10次喷涂，而且每喷涂一薄层要等其干燥后再在其上喷涂另一层。脆性漆喷涂完毕后，要放在阴凉地方干燥24小时以上，俟其完全干燥才能进行实验。为了保证脆性漆层能牢固地粘着在构件表面上，喷涂前应该用丙酮先将构件表面上的油污杂物洗净。

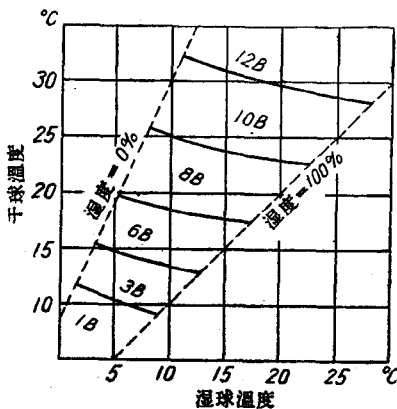


图 25.6

^① 这个线图是保证 $\varepsilon_0 = 0.03 \sim 0.10\%$ 时所需的标号，如果要求较高的灵敏度（即 ε_0 值较低），则应采用比线图中查出者较高的标号。

4. 用脆性漆层法做定性的实验

这是脆性漆层法中最常使用而且最简便的一种实验。将适当标号的脆性漆按上一段所述方法喷塗在构件上，干燥后将构件加载进行实验。在加载过程中注意观察构件表面的脆性漆层最先出现裂縫的地方和裂縫方向。这样就确定了构件表面上最大主拉应变的位置和方向。

用脆性漆层法进行这种定性实验后，便可用应变仪法精确地确定主应变值。此时应先卸去载荷，刮去最先出现裂縫的位置附近的脆性漆层，并先后用二硫化碳和丙酮洗净构件表面，然后分别沿裂縫方向和垂直于裂縫方向（这是两个主应变方向）贴上电阻丝片，用电阻应变仪测定构件中最大主应变位置处的线应变 ε_1 和 ε_2 ，利用(25.2)式计算出构件中的最大主应力 σ_{\max} 值。这种用脆性漆层法做定性实验，辅之以用电阻应变仪做定量实验是较简便且精确的方法，在实验室里最常采用。

5. 用脆性漆层做定量的实验

要做定量实验，必须采用性质均匀且稳定的脆性漆。只要预先测定脆性漆层开始产生裂縫的极限应变值 ε_0 ，即可根据构件表面上脆性漆层的裂縫在加载过程中的发展情况，确定构件表面上各点处最大拉伸主应变的变化规律

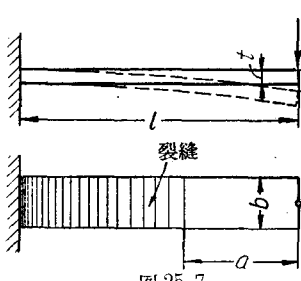


图 25.7

距离为 a ，则校正梁在此裂縫上各点处的应变为

$$\varepsilon_0 = \frac{\sigma}{E} = \frac{P \cdot a}{\frac{1}{6} b t^2 E}, \quad (25.6)$$

脆性漆层开始产生裂縫的极限应变值 ε_0 可以通过校正梁（图 25.7）上脆性漆层在梁加载时最后出现的一根裂縫处的应变值确定。校正梁的左端固定而右端自由，集中力 P 加于自由端使其产生挠度 f 。若量得在 P 力作用下最后出现的一根裂縫到 P 力作用点的

其中: b, t 分别代表校正梁的宽度和厚度, E 代表校正梁材料的弹性模量。

若 P 力大小未知, 但自由端的挠度 f 为已知, 则 P 力可通过悬臂梁自由端的挠度计算公式

$$f = \frac{Pl^3}{3EI} = \frac{Pl^3}{3E \cdot \frac{1}{12}bt^3} \quad (25.7)$$

确定。以此代入公式(25.6)即得 ε_0 与 f, a 的关系式如下:

$$\varepsilon_0 = \frac{3}{2} \cdot \frac{tf}{l^3} \cdot a. \quad (25.8)$$

此即脆性漆层开始产生裂縫的极限应变值。常用的脆性漆层其 ε_0 值约在 $3 \times 10^{-4} \sim 10 \times 10^{-4}$ 的范围内。

为了保证校正梁上的脆性漆层的性质与试件表面上的相同, 应该采用同一批脆性漆溶液并在相同的环境下喷塗、干燥和进行实验。

下面举例说明用脆性漆层进行的定量实验。

有一透平机叶片, 在加载(横向弯曲)过程中受拉侧表面上脆性漆层裂縫端部的联綫随着载荷的增加其发展如图 25.8① 所示。图中的粗綫就是相应于每一加载程序的脆性漆层裂縫端部的联綫, 編号代表加载的程序。与每一編号相对应的载荷为 P_i 。

显然, 图 25.8 中的粗綫就是等主拉应变綫, 即此綫上的各点其最大主拉应变 ε_1 的数值相等。要确定在工作载荷 P 的作用下各点的最大主拉应变 ε_{max} , 可以根据在弹性范围内各点的应变与载荷成线性关系的原理, 利用以下公式计算:

$$\varepsilon_{max} = \frac{P}{P_i} \cdot \varepsilon_0, \quad (25.9)$$

其中: P_i 为与该点处等主拉应变綫編号相对应的载荷。

确定了各点的最大主拉应变 ε_{max} , 一般地说还不能按平面应力状态下的虎克定律

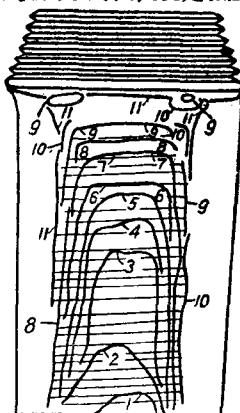


图 25.8

① 本图系参考以下资料繪出的: A. J. Durelli and others: Introduction to the Theoretical and Experimental Analysis of Stress and Strain. 1958. 466 頁, 图 17.28.

$$\varepsilon_{m,x} = \varepsilon_1 = \frac{1}{E} [\sigma_1 - \mu \sigma_2]$$

算出各点的主应力。但在某些特殊情况下，即 σ_2 的数值比 σ_1 小很多时，可略去 $\mu \sigma_2$ 的值，而按单向应力状态的虎克定律作近似计算，即：

$$\sigma_1 \doteq E \varepsilon_{m,x} = E \varepsilon_0 \cdot \frac{P}{P_i}. \quad (25.10)$$

在 σ_2 为数值較大的压应力时，略去 σ_2 不計显然会造成很大的誤差，因此还必須确定主压应变 ε_2 。为此可以将构件預先加到最大載荷，然后噴塗上脆性漆，俟其完全干燥后，再分段卸載，则在分段卸載过程中，脆性漆层将沿加载时的最大主压应变方向开裂（因为在加载时为压应变处，卸載时即变为拉应变），这样，可以得到与图 25.8 类似的等主压应变綫，从而按(25.9)式确定加载后各点的主压应变 ε_2 的值。

如果两个主应力均为拉应力（或压应力）且其值較接近，则加载（或卸載）时脆性漆层上将出現龟裂紋，要定量地解决这类問題是很复杂的，而且，其精确度也难以得到保証，可以參看有关书籍^①的介紹。

由于影响脆性漆层灵敏程度的因素很多，因此，實驗結果的精确度不够高，能保証誤差不超过士15% 已很不容易。所以，用这种方法进行定量實驗，只能作为一种粗略的估計。然而，應該指出，即使是这种粗略的估計，在修改构件的設計时，也能提供令人滿意的資料了。

§ 25.4. 光彈性方法

1. 光彈性方法的光学原理

某些透明材料（例如玻璃、酚醛塑料、环氧树脂等）在外力作用下产生应力的时候，其光学性质也会发生变化，即从单折射变为具有沿两主应力方向折射的暫時双折射性能，且折射率不同。光彈性法就是通过对这种材料制成之模型（与构件保持几何相似关系），在模拟的載荷作用下产生之光学效应的研究，以了解模型內各点处的应力，从而确定构件內应力分布規律的。由于这种方法

^① A. J. Durelli and others: Introduction to the Theoretical and Experimental Analysis of Stress and Strain, 1958, chap. 15.

只能研究弹性范围以内的应力分布规律等，因此，习惯上称其为光弹性方法^①。

利用光弹性方法，可以比较精确地确定构件内的应力分布规律和主应力值，是一种较精确的定量分析方法，用它来对平面模型进行研究时，更为简便和精确。

这种方法的光学原理可简述如下。

单色光通过偏振片（称为起偏振片）后产生平面偏振光（图 25.9），其波动方程式为：

$$S_0(t) = a_0 \sin 2\pi \frac{vt}{\lambda}, \quad (25.11)$$

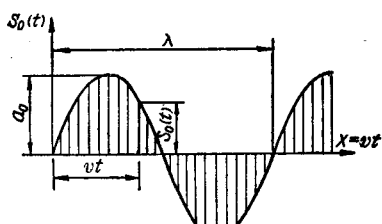


图 25.9

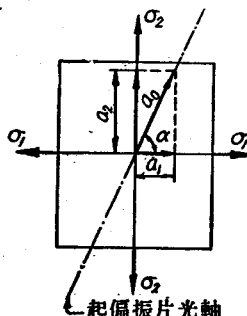


图 25.10

其中： a_0 为偏振光的振幅，

v 为光在空气中的传播速度，

λ 为所用单色光的波长。

当这种平面偏振光通过受力的透明模型上某一点时（偏振平面与模型平面垂直），由于模型材料的双折射性能，即沿模型上光线通过点之两个主应力 σ_1 和 σ_2 的方向分解为两个也是平面偏振光的分量 $S_1(t)$ 和 $S_2(t)$ 。令原偏振光之偏振平面与 σ_1 方向间的夹角为 α （参看图 25.10），则分解后的两个平面偏振光之波动方

① 近来已有人利用类似原理研究塑性范围内模型的应力分布规律，并称之为“光塑性方法”。